

КЛАСТЕРНОЕ МОДЕЛИРОВАНИЕ ЭЛЕКТРОННОГО СТРОЕНИЯ КРИСТАЛЛОВ LiB_3O_5

А.Б. Соболев, А.Ю. Кузнецов, И.Н. Огородников, А.В. Кружалов

Триборат лития LiB_3O_5 (LBO) является высокоэффективным нелинейным оптическим материалом. Известные литературные данные в большинстве своем относятся к его нелинейным свойствам. Остаются практически не исследованными электронная структура и процессы дефектообразования, знание которых чрезвычайно важно для решения ряда прикладных задач. Существуют лишь единичные работы по электронной структуре трибората лития [1–3].

В настоящем сообщении на основании расчетов, выполненных кластерным методом рассеянных волн (ССП-РВ-метод) в модели внедренного кластера [4–6] интерпретируются полученные нами ранее [7] экспериментальные данные по электронной структуре LiB_3O_5 . Кластерный подход является предпочтительным для анализа электронного строения LBO ввиду сложности кристаллической структуры [8] (пространственная группа симметрии $Pna2_1$, 36 атомов в элементарной ячейке). Основу кристаллической структуры LBO составляет борокислородный каркас, катионы лития локализованы в междуузлиях. Основным мотивом каркаса является анионная группа $[\text{B}_3\text{O}_7]^{5-}$, состоящая из одной тетраэдрической (BO_4) и двух плоских тригональных групп (BO_3). Исходя из этого, для расчета был выбран кластер $[\text{B}_3\text{O}_7]^{5-}$ (точечная группа симметрии C_{2v} , четыре неэквивалентных атома кислорода и два неэквивалентных атома бора) (рис. 1).

Полученные в результате расчета одноэлектронные энергии молекулярных орбиталей кластера $[\text{B}_3\text{O}_7]^{5-}$ в сопоставлении с таковыми для X_α -ДВМ метода [2] приведены в таблице. В соответствии с парциальным составом молекулярных орбиталей одноэлектронный спектр может быть разбит на две группы. Низкоэнергетическую часть ($1a_1, 2b_1, \dots, 4a_1$) составляют гибридизованные $O2s$ -состояния анионов кластера (квазистоевые состояния). Расположенные выше по энергии уровни ($1a_2, 5a_1, \dots, 7b_2$) образованы $O2p$ -состояниями, расщепленными кристаллическим полем, и соответствуют валентной зоне идеального кристалла LBO. Анализ парциального состава данной группы орбиталей показывает, что нижняя часть валентной зоны образована преимущественно связывающими $2p$ молекулярными орбиталями σ -типа ионов O(1) и O(2). Середина валентной зоны представляет собой суперпозицию близколежащих состояний, в которые основной вклад вносят $2p$ -состояния ионов O(3) и O(4) различного типа, а потолок валентной зоны образован антисвязывающими молекулярными орбиталями π -типа ионов O(1) и O(2).

Отметим, что полученные нами и приведенные в [2] данные по количеству состояний одинаковой симметрии для каждой из групп совпадают, но по порядку следования отличаются. Согласно интерпретации авторов [2], молекулярные орбитали кластера $[\text{B}_3\text{O}_7]^{5-}$, отне-

Одноэлектронные энергии молекулярных
орбиталей кластера $[B_3O_7]^{5-}$

Симметрия орбиталей	Основной парциальный вклад	Энергия, eV	
		наст.раб.	[²]
$3a_2$		0.00	-0.43
$11a_1$	$2p, \pi$	-0.08	-1.44
$8b_2$		-1.99	-1.15
$6b_1$		-2.00	0.00
$7b_2$		-3.83	-2.35
$10a_1$		-4.16	-2.65
$9a_1$		-5.27	-4.02
$5b_1$		-5.39	-2.54
$6b_2$		-5.43	-4.17
$8a_1$	$2p, \pi, \sigma$	-5.46	-5.14
$2a_2$		-5.68	-3.13
$7a_1$		-6.25	-5.28
$4b_1$		-6.50	-3.19
$5b_2$		-6.59	-5.48
$3b_1$		-6.61	-5.13
$4b_2$		-7.30	-9.33
$3b_2$		-8.49	-10.27
$2b_1$		-8.50	-6.82
$6a_1$	$2p, \sigma$	-8.93	-7.56
$5a_1$		-10.64	-9.81
$1a_2$		-11.37	-5.29
$4a_1$		-17.91	-16.89
$3a_1$		-19.78	-18.57
$2b_2$		-20.03	-18.70
$2a_1$	$2s$	-21.00	-21.91
$1b_2$		-22.03	-21.43
$1b_1$		-22.04	-15.77
$1a_1$		-26.37	-23.23

П р и м е ч а н и е. За нуль энергетической шкалы принята энергия верхнего заполненного состояния.

сенные нами к потолку валентной зоны и квазистовой зоне, образованы поверхностными состояниями, которые обусловлены связями выделенного кластера и кристаллического остатка. В соответствии с этим авторы [2] исключают вклад этих состояний в формирование электронной структуры кристалла в целом. Полученные расхождения могут быть объяснены особенностями использованных моделей. Так, в работе [2] не были учтены вклады от кристаллического остатка, что должно приводить [6] к искажению кулоновского потенциала для периферийных ионов кластера.

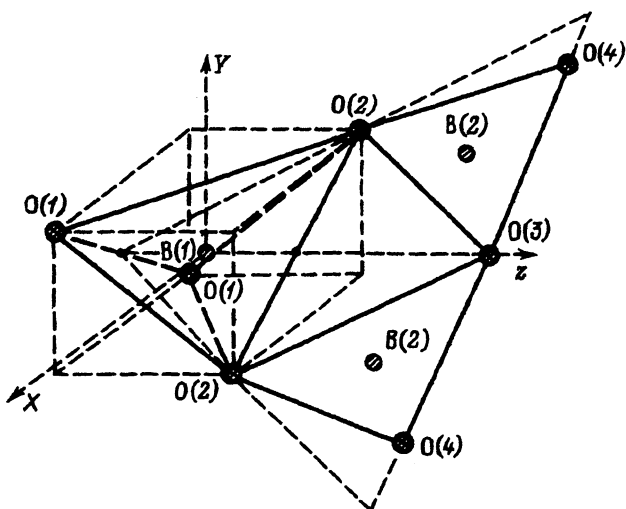


Рис. 1. Основной кристаллографический мотив кристалла LiB_3O_5 — анионная группа $[\text{B}_3\text{O}_7]^{5-}$.

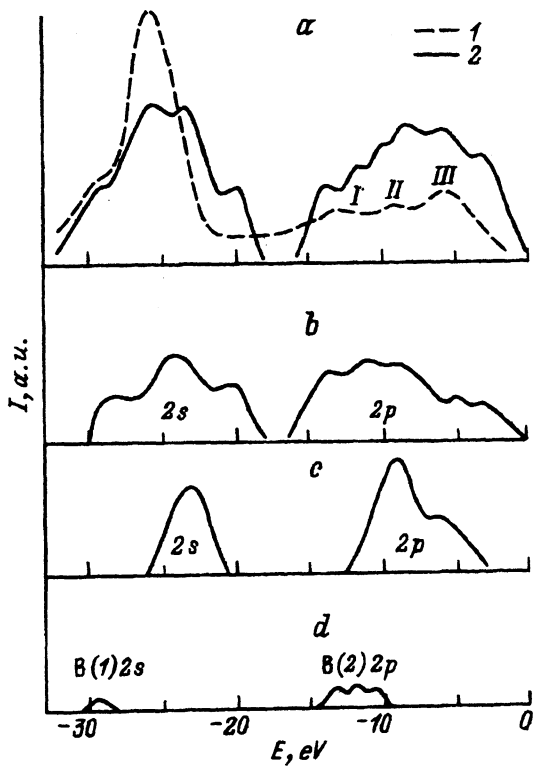


Рис. 2. Рентгеноэлектронный спектр LiB_3O_5 (1), модельные плотности одноэлектронных состояний (2) кластера $[\text{B}_3\text{O}_7]^{5-}$ (а), атомов $\text{O}(1)$, $\text{O}(2)$ (б), $\text{O}(3)$, $\text{O}(4)$ (в), $\text{B}(1)$, $\text{B}(2)$ (г).

Проведенный расчет показывает, что парциальные плотности состояний атомов O(1) и O(2) близки (тетраэдрическая позиция). Аналогичный вывод можно сделать в схожести парциальной плотности состояний атомов O(3) и O(4) (тригональная позиция). В то же время парциальные плотности состояний O(1) и O(3) значительно различаются (рис. 2). Поэтому, с точки зрения энергетической структуры, можно говорить о неэквивалентности пар атомов кислорода, находящихся в тетраэдрической и тригональной конфигурациях. Для доказательства этого нами были рассчитаны потенциальные вклады маделунговского типа V_{α}^{Mad} , представляющие собой потенциал в позиции аниона, наводимый решеткой точечных зарядов. Полученные данные (O(1), O(2) и O(3) — 31.4 eV, O(4) — 32.7 eV) показывают, что кулоновские вклады в потенциал анионных позиций кристалла LiB₃O₅ примерно одинаковы, что не позволяет говорить о неэквивалентности энергетической структуры анионов. Следовательно, неэквивалентность парциальной плотности состояний ионов кислорода, занимающих тетраэдрические и тригональные позиции, вызвана особенностями положения ионов в кластере [B₃O₇]⁵⁻ или, другими словами, особенностями строения основного кристаллического мотива кристаллов LBO — анионной группы [B₃O₇]⁵⁻. Такое предположение согласуется с выводами [3]. Следует также отметить, что, согласно расчетам, атомы бора вносят лишь незначительный вклад в формирование валентной зоны кристалла LiB₃O₅.

Данные о молекулярных орбиталах, формирующих электронную структуру кластера [B₃O₇]⁵⁻ (см. таблицу), позволяют однозначно идентифицировать полученные нами ранее [7] рентгеноэлектронные спектры LBO. На рис. 2 приведены полные и парциальные плотности состояния кластера [B₃O₇]⁵⁻ в сопоставлении с экспериментальным рентгеноэлектронным спектром валентной полосы. Наблюдается удовлетворительное согласие энергетической структуры кластера с экспериментом. Так, три пика рентгеноэлектронного спектра валентной зоны (рис. 2, I, II и III) находятся в области энергий от -15 до -3 eV. Пик I обусловлен в основном суперпозицией связывающих 2p молекулярные орбитали σ -типа анионов тетраэдрической координации. В пик II основной вклад вносят молекулярные орбитали анионов тригональной координации, а пик III образован главным образом антисвязывающими молекулярными орбиталями σ -типа анионов тетраэдрической координации. В пик рентгеноэлектронного спектра, связанный с полосой квазистатического кислорода O2s, вносит вклад молекулярные орбитали, образованные O2s-состояниями анионов всех типов. Отметим, что между 2s молекулярными орбиталями анионов тетраэдрической и тригональной координации существует, согласно расчету, энергетический минизазор в 1 eV. Возможно, именно этим объясняется наличие на рентгеноэлектронном спектре LiB₃O₅ «плеча» в полосе квазистатического кислорода O2s со стороны более отрицательных энергий (рис. 2).

Таким образом, проведенные в данной работе расчеты электронной структуры идеального кристалла LiB₃O₅ хорошо согласуются с экспериментальными данными, что позволяет сделать заключение об адекватности предложенной модели в ССП-РВ-метода в моделировании электронного строения данного кристалла. Полученные результаты

обосновывают возможность обобщения используемых моделей на расчет точечных дефектов в кристаллах LBO, что является целью нашей следующей работы.

Авторы признательны В.А. Маслову и Б.В. Шульгину за помощь и участие в работе.

Список литературы

- [1] Xu Yong-Nian, Ching W.Y. // Phys. Rev. B. 1990. V. 41. N 8. P. 5471–5474.
- [2] French R.H., Ling J.W., Ohuchi F.S., Chen C.T. // Phys. Rev. B. 1991. V. 44. N 16. P. 8496–8502.
- [3] Hsu W.Y., Kasowski R.V. // J. Appl. Phys. 1993. V. 73. N 8. P. 4101–4103.
- [4] Jonson K.H. // Adv. Quant. Chem. 1973. V. 7. N 1. P. 143–185.
- [5] Lobatch V.A., Sobolev A.B., Rubin I.R. // Phys. Stat. Sol. (b). 1990. V. 60. N 1. P. 165–172.
- [6] Соболев А.Б., Ерухимович С.М., Кеда О.А. // Журн. структ. химии. 1991. Т. 32. № 5. С. 129–130.
- [7] Кузнецов А.Ю., Кузнецов М.В., Огородников И.Н. и др. // ФТТ. 1994. Т. 36. № 3. С.
- [8] Радаев С.Ф., Сорокин Н.И., Симонов В.И. // ФТТ. 1991. Т. 33. № 12. С. 3597–3600.

Уральский государственный технический университет Поступило в Редакцию
Екатеринбург 6 декабря 1993 г.

УДК 538-539.2

© Физика твердого тела, том 36, № 5, 1994
Solid State Physics, vol. 36, N 5, 1994

СПЕКТР НАКЛОННЫХ КОЛЕБАНИЙ ИЗОЛИРОВАННОГО ПОЛОСОВОГО ДОМЕНА

А.Е.Зюбанов, А.К.Сараби

В работах [1–3] показано, что основной вклад в коэрцитивность тонкокленических магнитных материалов, полученных методом жидкофазной эпитаксии, обусловлен закреплением доменной границы в переходной области пленка–подложка. К материалам, обладающим подобной неоднородностью, могут быть отнесены и ионно-имплантированные пленки. Наряду с влиянием на статические свойства пленок с доменной структурой [1,3] такое закрепление должно влиять и на динамические свойства доменной границы, изучению которых и посвящена данная работа.

Рассмотрим плоскопараллельную пленку толщиной h с намагниченностью насыщения M_0 , направленной перпендикулярно поверхности образца, помещенную во внешнее магнитное поле H_0 с полосовым магнитным доменом шириной d , граница которого закреплена в переходном слое пленка–подложка (рис. 1).

Исследуем спектр наклонных колебаний для случая малых отклонений доменной границы от оси OZ в рамках следующих модельных предположений: 1) при наклонных колебаниях доменная граница остается прямой; 2) скорость участков доменной границы меньше уокеровской, что позволяет ввести понятие эффективной массы m единицы площади доменной границы.